

# **Le côté obscur de la gravité**

Frédéric Henry-Couannier  
CPPM/RENOIR Marseille  
[www.darksideofgravity.com](http://www.darksideofgravity.com)

# Plan

- La gravité
  - La gravité selon Newton
  - La gravité selon Einstein: RG
  - La gravité avec côté obscur: DG
- DG « locale »
- DG « globale »
- Conclusions

# La gravitation selon Newton

$$\vec{F}_{12} = -\vec{F}_{21} = -G \frac{m_1 m_2}{r^2} \vec{u}_{12}$$

- Attractive
- Ne concerne que les corps massifs
- Force instantanée à distance
- Symétrie entre action et réaction
- L'accélération subie par un corps ne dépend pas de sa masse

$$mg_{gravitation} = m\vec{a}_{accélération}$$



# **Relativité Générale: La gravité selon Einstein**

# L'intuition physique: Le principe d'équivalence

Gravitation = Accélération



Il est possible de supprimer localemement  
les effets de la gravitation en passant dans un système de  
coordonnées accéléré:

1. Pour toute expérience de physique non gravitationnelle :  
Principe d'équivalence d'Einstein: EEP
2. Pour toute expérience de physique gravitationnelle :  
Principe d'équivalence fort: SEP

# L'expression mathématique du principe d'équivalence

1. Imposer aux équations du MS la symétrie sous transformation générale de coordonnées (condition sans réel contenu physique) y fait apparaître un champ  $g_{\mu\nu}$  et ses dérivées.
2.  $g_{\mu\nu}$  est identifié au champ gravitationnel
  1. & 2. → équations de la physique valables pour des observateurs quelconques et incluant la gravité
  - 1.& 2. → le principe d'équivalence est respecté

# La Relativité Générale 1905-1915: l'expression unique de EEP+SEP ?

Une théorie de la gravitation complète doit décrire:

1. Comment les champs du MS subissent la gravité:

Couplage de  $g_{\mu\nu}$  aux champs du MS  $\Leftrightarrow$  EEP (I)

2. Comment les champs du MS et  $g_{\mu\nu}$  sourcent la gravité:

(I)+Couplage de  $g_{\mu\nu}$  à lui même

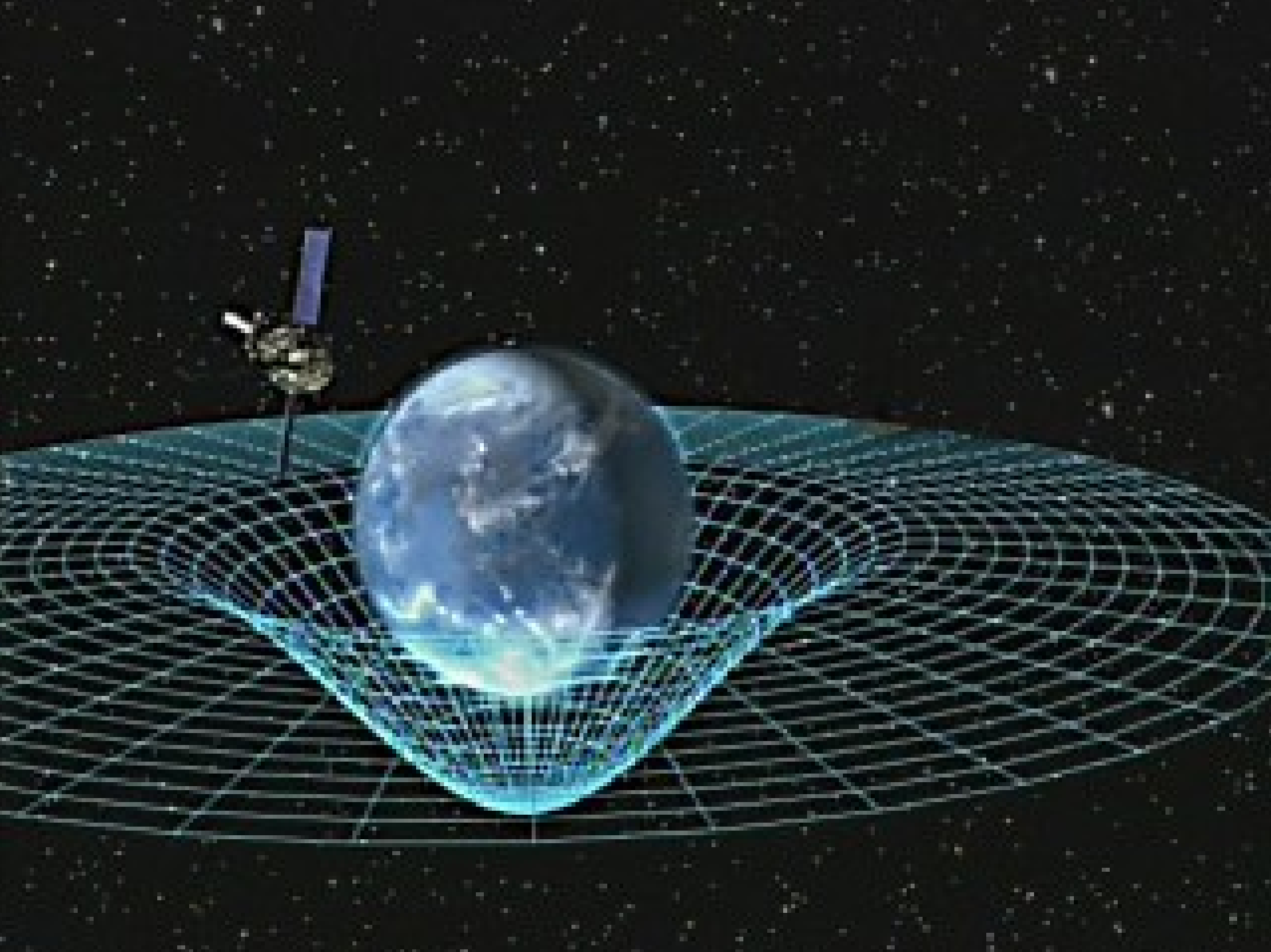
RG  $\rightarrow$  SEP

SEP  $\not\rightarrow$  RG

# La RG: une théorie géométrique

En RG,  $g_{\mu\nu}$  est un champ décrivant des déformations et courbures de l'espace-temps: la métrique!

- Trajectoires = géodésiques
- Perte de l'invariance de Poincaré globale et du tenseur énergie impulsion associé
- Perte des symétries discrètes spatio-temporelles



# La RG: une théorie relativiste de la gravitation

- Energie, impulsion, pression incluses dans  $T_{\mu\nu}$  sourcent la gravité ( $\neq$  Newton)
- La gravité est propagée par des OG à la vitesse de la lumière ( $\neq$  Newton)
- Point fort:
  - Grande beauté conceptuelle (Principe d'équivalence) et triomphe de la symétrie
  - Théorie remarquablement validée par une batterie de tests de précision
- Points faibles:
  - Calcul exact impossible en général, calcul approximatif extrêmement fastidieux en pratique
  - Incompatibilité notoire avec la mécanique quantique

# Secteurs à explorer

- Le domaine PPPN
- La pression comme source de la gravité
- L'horizon de trou noir
- Les ondes gravitationnelles (polarisation, vitesse)

# Des anomalies de la gravité ?

- Effet Pioneer
- Anisotropies dans le quadrupôle du CMB
- La cosmologie (matière noire + énergie noire + inflation + ... ?!?!)



**La gravité avec son côté obscur: DG**

# Vers une théorie non géométrique: DG

- RG:  $g_{\mu\nu}$  est la métrique.

$$[g_{\mu\nu}]^{-1} = g^{\mu\nu} = g^{\mu\rho} g^{\nu\sigma} g_{\rho\sigma}$$

la théorie est construite à partir du couple

$$g_{\mu\nu}, g^{\mu\nu}$$

- DG:  $g_{\mu\nu}$  n'est pas la métrique qui est  $\eta_{\mu\nu}$

$$[g_{\mu\nu}]^{-1} = \tilde{g}^{\mu\nu} = \eta^{\mu\rho} \eta^{\nu\sigma} \tilde{g}_{\rho\sigma} \neq g^{\mu\nu} = \eta^{\mu\rho} \eta^{\nu\sigma} g_{\rho\sigma}$$

la théorie est construite à partir des couples:  $g_{\mu\nu}, \tilde{g}^{\mu\nu}$  et  $\tilde{g}_{\mu\nu}, g^{\mu\nu}$

# DG réhabilite les symétries globales d'espace-temps

- L'espace temps homogène et statique demeure globalement Lorentzien comme en TQC
- Symétries d'espace-temps globales et courant de Noether associé sont valides
- Symétries discrètes d'espace-temps idem
- Les solutions  $[g_{\mu\nu}, \tilde{g}_{\mu\nu}]$  de DG satisferont des relations telles que:

$$g_{\mu\nu}(t) \xleftrightarrow{T} \tilde{g}_{\mu\nu}(-t) \equiv [g_{\mu\nu}]^{-1}(-t) = g_{\mu\nu}(t)$$

→ les deux gravités sont conjuguées sous symétries discrètes d'espace-temps !!

# Energies négatives et inversion du temps

- En RR, E s'inverse :
  - 1) instabilités avec  $E < 0$
  - 2)  $E < 0$  non manifestées dans interactions EM, faible et forte
- En RR+MQ avec T unitaire  $e^{i(Et - \vec{p}\vec{x})} \xrightarrow{t \rightarrow -t} e^{i(-Et - \vec{p}\vec{x})}$  E s'inverse  
→ 1)+2)+ incohérence interne: 3)
  - avec T antiunitaire  $e^{i(Et - \vec{p}\vec{x})} \xrightarrow{t \rightarrow -t, i \rightarrow -i} e^{i(Et + \vec{p}\vec{x})}$  E invariante
- En RR+MQ(T unitaire)+DG: E s'inverse « du point de vue de  $\tilde{g}_{\mu\nu}$  », et on saute dans  $\tilde{g}_{\mu\nu} \rightarrow 1), 2)$  et 3) résolus

$$\begin{aligned} x, y, z, t &\xrightarrow{T} x, y, z, -t \\ p_x, p_y, p_z, E &\xrightarrow{T} p_x, p_y, p_z, -E \end{aligned}$$

$$e^{i(Et - \vec{p}\vec{x})} \xrightarrow{t \rightarrow -t} e^{i(-Et - \vec{p}\vec{x})}$$

$$e^{i(Et - \vec{p}\vec{x})} \xrightarrow{t \rightarrow -t, i \rightarrow -i} e^{i(Et + \vec{p}\vec{x})}$$

# La gravité avec côté obscur

- L'action du MS est comme en RG → EEP respecté

$$S_{MS} [g_{\mu\nu}, \dots] + \tilde{S}_{MS} [\tilde{g}_{\mu\nu}, \dots]$$

- Le monde des particules qui vivent dans la gravité conjuguée est invisible de notre point de vue

- L'action gravitationnelle:

$$S_{\text{gravité}} [g_{\mu\nu}, \dots] + \tilde{S}_{\text{gravité}} [\tilde{g}_{\mu\nu}, \dots]$$

- Les équations de la gravité se simplifient de manière spectaculaire
- Le calcul gravitationnel devient élémentaire dans toutes les situations

# Les équations de DG

$$S_{RG} + \tilde{S}_{RG}$$

$\overset{T}{\overbrace{\quad\quad}}$

On extrémise l'action  
& élimine

$$\tilde{g}_{\mu\nu}$$



Nouvelles équations

# Forme isotrope et x/t symétrique des gravités conjuguées

- Formes isotropes:

$$g_{\mu\nu} = \begin{bmatrix} B & & & \\ & A & & \\ & & A & \\ & & & A \end{bmatrix}, \quad \tilde{g}_{\mu\nu} = \begin{bmatrix} B^{-1} & & & \\ & A^{-1} & & \\ & & A^{-1} & \\ & & & A^{-1} \end{bmatrix}$$

- Symétrie des rôles de B et A (symétrie naturelle entre tachyons et bradions)  
→ 2 théories possibles:

$$B = -1/A$$

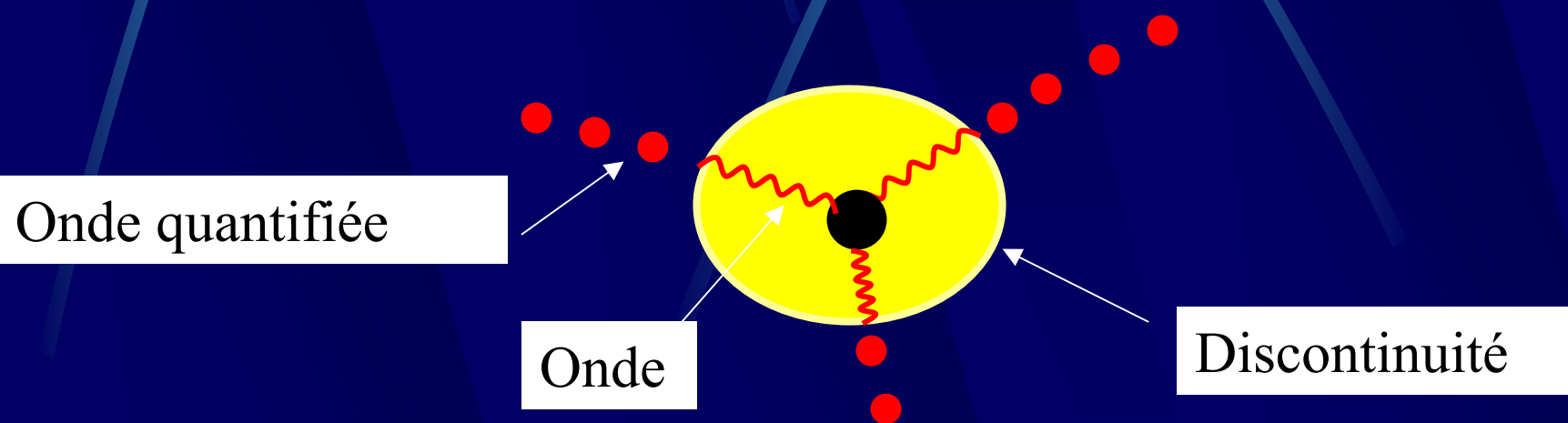
et

$$B = -A$$

# DG: deux théories

La théorie se divise en deux secteurs qui se partagent des domaines spatiaux distincts:

- La gravité « locale » statique et instantanée:  $B=-1/A$
- La gravité « globale » propagée (loin de toute masse) et les OGs:  $B=-A$



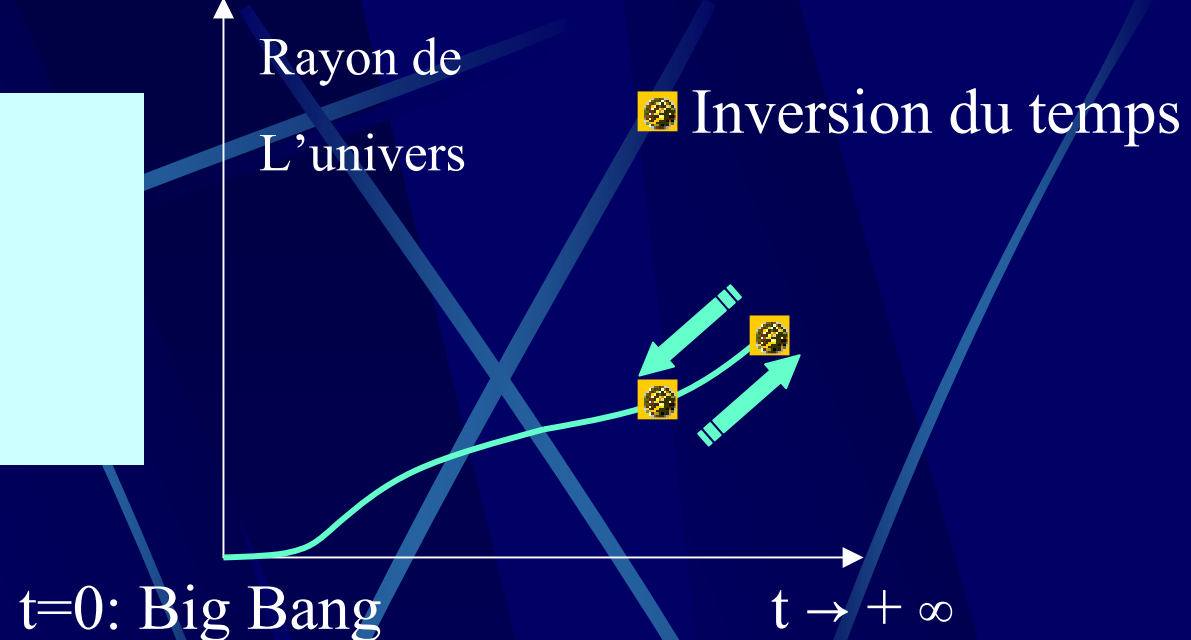


# La gravité globale

Relativité Générale:  
Inverser le temps

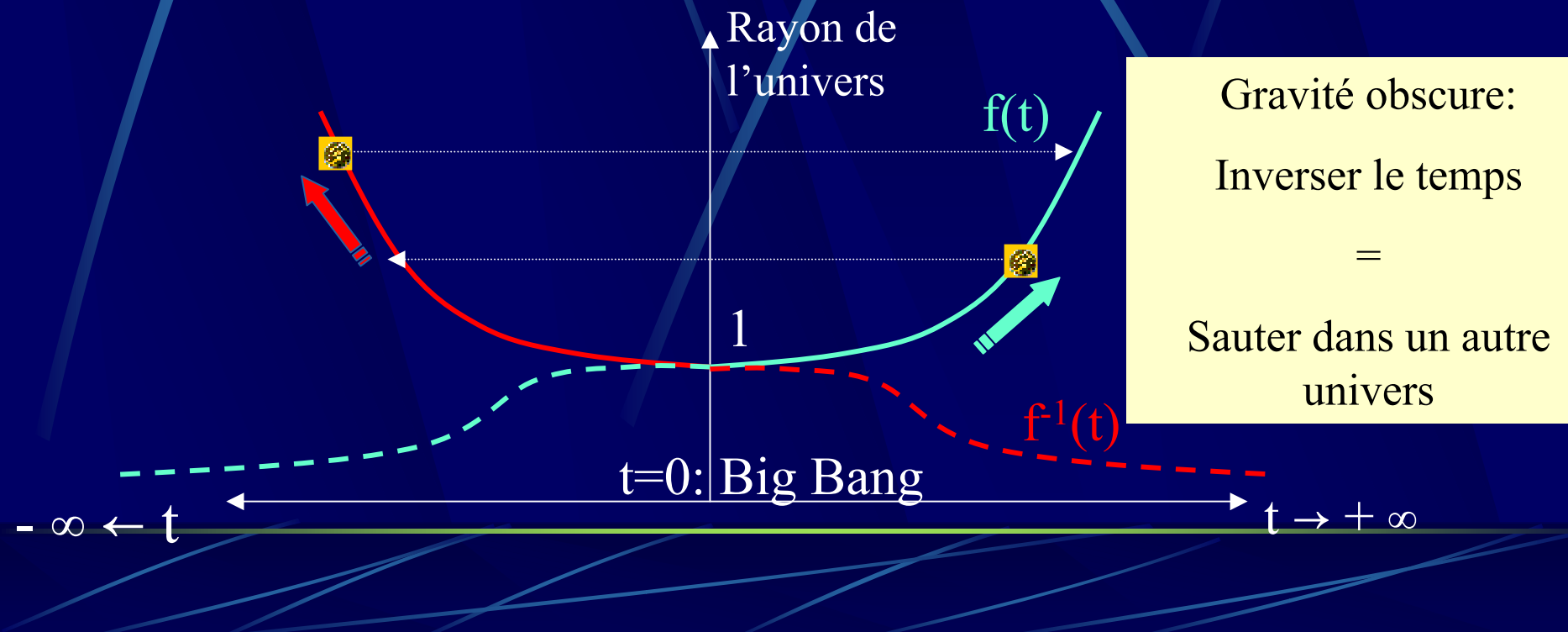
=

Remonter le temps



QUESTION

Inversion du temps



QUESTION

Gravité obscure:  
Inverser le temps

=  
Sauter dans un autre  
univers

# La cosmologie

La symétrie détermine complètement l'évolution des univers indépendamment de leur contenu :

- Univers spatialement plats
- Univers en accélération constante
- Pas de singularité de Big Bang et très faible taux d'expansion à l'origine du temps
- Univers deux fois plus vieux

# Magnitude vs redshift SNA test (SCP 2003)

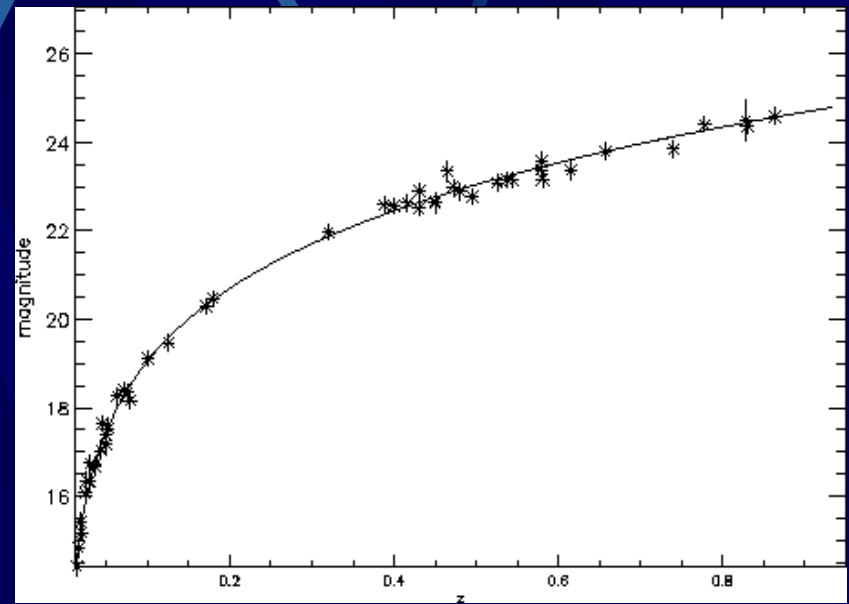
Ajustement par  $a(t) \propto t^\alpha$



$$\alpha = 1.6 \pm 0.3 (\text{stat})$$

Compatible avec  
l'accélération  
constante:

$$\alpha = 2$$



# Les Ondes Gravitationnelles

- OGs se propagent à  $c_{\text{light}}$  → bonne perte d'énergie par rayonnement du pulsar binaire
- OGs indétectables par les interféromètres
- Echange d'OGs quantifiées à longue distance → interaction gravitationnelle
- OGs ont une composante longitudinale comme des ondes acoustiques: découverte par Chandra au centre de l'amas de Persée!!



# La gravité locale

# La gravité locale

- SEP est respecté
- Gravité instantanée à distance
- La masse s'inverse d'une gravité à l'autre  
(idem théorie de JP Petit)
  - Objets vivant dans la même gravité s'attirent
  - Objets vivant dans des gravités différentes se repoussent



# La gravité d'une masse M

DG:

$$g_{ii}(r) = A = e^{2MG/r} \approx 1 + 2\frac{MG}{r} + 2\frac{M^2G^2}{r^2}$$

$$-g_{00}(r) = \frac{1}{A} = e^{-2MG/r} \approx 1 - 2\frac{MG}{r} + 2\frac{M^2G^2}{r^2} - \frac{4M^3G^3}{3r^3}$$

RG:

$$g_{ii}(r) = \left(1 + \frac{MG}{2r}\right)^4 \approx 1 + 2\frac{MG}{r} + \frac{3M^2G^2}{2r^2}$$

$$g_{00}(r) = \frac{\left(1 - \frac{MG}{2r}\right)^2}{\left(1 + \frac{MG}{2r}\right)^2} \approx 1 - 2\frac{MG}{r} + 2\frac{M^2G^2}{r^2} - \frac{3M^3G^3}{2r^3}$$

# La gravité locale de DG vs la RG

- En régime de faible gravité (système solaire), écarts Post-Post-Newtoniens avec la RG
- En régime de forte gravité, écarts importants avec la Relativité Générale: plus de Trou noir!

# Les sources de la gravité locale

- Seule la masse source la gravité (= Newton)
- La gravité a une « forme statique et isotrope » pour toutes les sources dans un domaine spatial
  - 
  - Formalisme PPN invalidé en DG mais OK avec tous les tests d'EEP et SEP
  - Gravito-magnétisme: DG et RG très différentes

# Tests du gravito-magnétisme avec Gravity Probe B

- Test au % de l'effet d'entraînement prévu par la RG (précision de  $5 \cdot 10^{-4}$  arcsec/an)
- Pas d'effet d'entraînement dans le modèle avec côté obscur
- A la place: un effet très spécifique dépendant de la vitesse de la terre/soleil

# L'effet Pioneer

- Les faits: une dérive en fréquence (blueshift) des ondes radio renvoyées par Pioneer de 20 à 70 U.A:

$$\frac{\dot{z}}{z} \approx -H_0$$

- Effets systématiques envisagés ont tous été écartés
- Interprétations possibles:

- Une décélération anormale constante dirigée vers le soleil :

$$a_p = (8.74 \pm 1.33) \cdot 10^{-10} \text{ m/s}^2$$
 : exclu!

- Une dérive temporelle de  $g_{\mu\nu}$  comme si les horloges de la sonde dérivent / celles sur terre

$$a(t)_{Terre} \rightarrow a(t)_{Pioneer} = \frac{1}{a(t)_{Terre}}$$



$$\Rightarrow \frac{\dot{z}}{z} = -H_0$$

# L'effet Pioneer en DG

- Background & perturbation superposés :

$$d\tau^2 = a^2(t) e^{Gm/r} dt^2 - \left[ a^2(t) e^{Gm/r} \right]^{-1} d\sigma^2$$

EEP&SEP OK

- Effet trop faible pour être détecté dans les autres tests de la gravité dans le système solaire
- Discontinuité de la gravité entre la terre et la sonde :  $a(t) \rightarrow 1/a(t)$  → effet Pioneer

# Anisotropies du quadrupôle du CMB corrélées avec le mouvement de la terre

$$d\tau^2 = a^2(t)e^{Gm/r}dt^2 - \frac{1}{a^2(t)e^{Gm/r}}d\sigma^2 \stackrel{a(t) \rightarrow 1/a(t)}{\Rightarrow} d\tau^2 = dt^2 - d\sigma^2$$

Discontinuité aux confins de la galaxie

$\gamma$  du CMB qui se réfléchit sur la discontinuité

$$\frac{1}{a^2(t)}dt^2 - a^2(t)d\sigma^2$$

Soleil

Terre

Planète géante

Pioneer

$$a^2(t)dt^2 - a^2(t)d\sigma^2$$

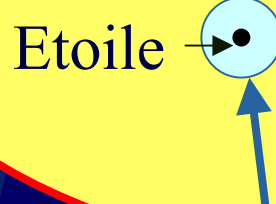
Discontinuité qui se propage

$$a^2(t)dt^2 - \frac{1}{a^2(t)}d\sigma^2$$

# Du global au local: $Gm/r < \epsilon$ → discontinuités de la gravité

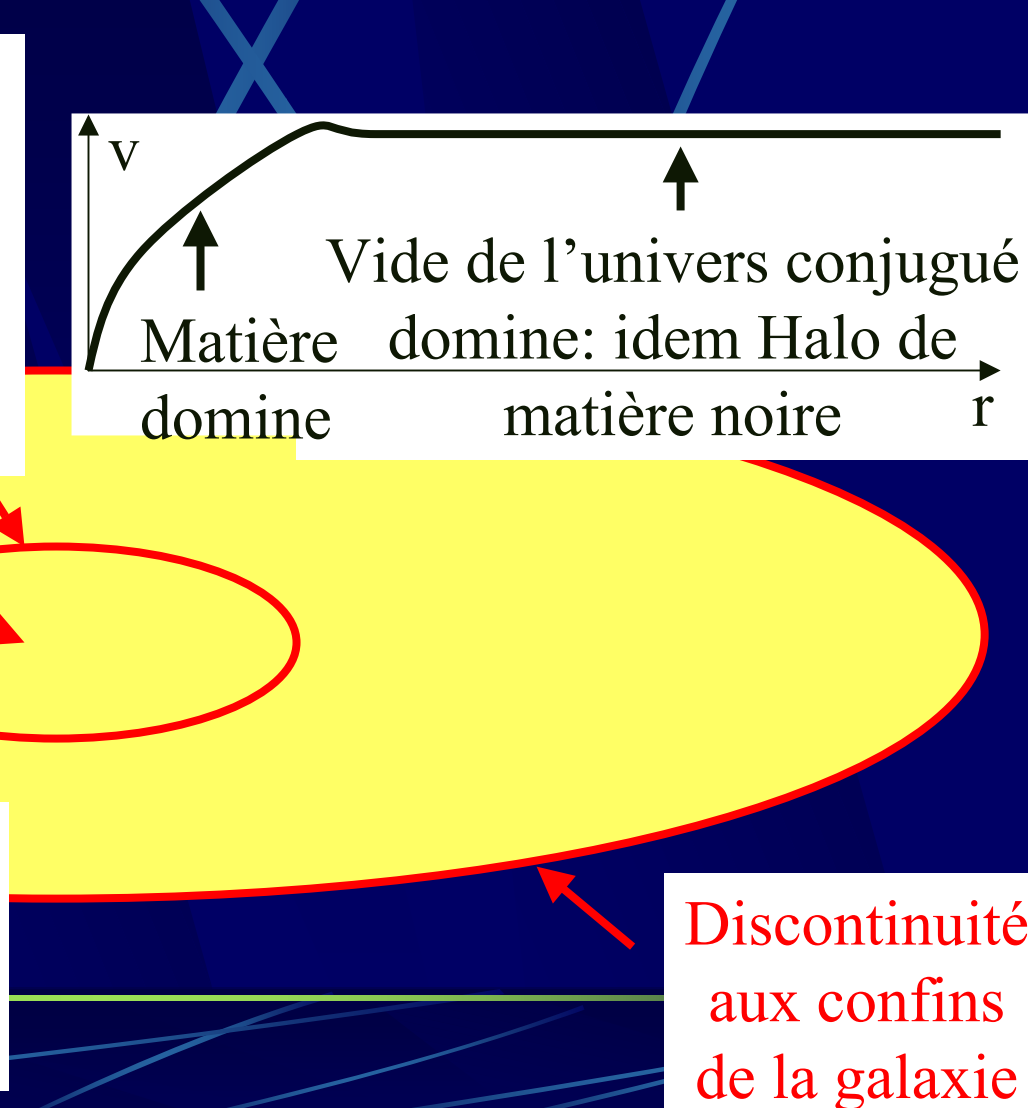
Discontinuité à 5 kpc du centre  
qui a piégé  $3.10^6$  masses solaires  
négatives dans l'univers  
conjugué:

Pseudo Trou noir central



$$Gm/r = a(t)$$

→ discontinuité qui descend  
dans les trous de potentiel



Discontinuité  
aux confins  
de la galaxie

# Conclusion

- RG et DG OK avec tous les tests
- DG est plus simple et admet des symétries globales
- Anomalies (Pioneer, CMB, Cosmologie) favorisent DG
- OG avec composante longitudinale découverte par Chandra !
- GP-B et WMAP/Planck seront déterminants

## Perspectives de test:

- Mission dédiée à l'effet Pioneer à  $10^{-12} \text{m/s}^2$  près
- Test des paramètres PPPN
- Recherche des discontinuités et OGs

# L'effet Pioneer et la RG

- Pas de traitement rigoureux de l'influence de l'expansion d'un background sur la dynamique locale.
- Best effort: la solution de Mc Vittie

$$d\tau^2 = \frac{1 - \frac{m}{2ra(t)}}{1 + \frac{m}{2ra(t)}} dt^2 - \left(1 + \frac{m}{2ra(t)}\right)^4 a^2(t) d\sigma^2$$

$r \rightarrow r^* = a(t)r \rightarrow$  Effet d'accélération négligeable lié à l'expansion dans  $g_{0r}^*$

# **Outlooks (I): From the CMB to large scale structures**

- Still quasi stationary cosmology near  $t=0$
  - Baryonic matter only
- Exponentially growing fluctuations early reach the nonlinear regime
- Raw typical sizes of galaxies (our universe structures) vs universe voids (conjugate universe structures)
- Raw typical visible masses of galaxies

# Outlooks (II): No need for dark matter ?

- Universe twice older: 26 billion years
- Oldest galaxies ( $z=5$ ): 17 billion years
- Galaxy creates a void in conjugate universe equivalent to a Halo

# La symétrie x/t

- Forme la plus générale de

$$g_{\mu\nu}$$

$$d\tau^2 = C \left[ A dx^2 + \frac{1}{A} dt^2 \right]$$

$$d\tilde{\tau}^2 = \frac{1}{C} \left[ \frac{1}{A} dx^2 + Adt^2 \right]$$

→ If  $A \neq i$ , C viole la symétrie x/t



$$d\tau^2 = Adx^2 + \frac{1}{A} dt^2$$

# La symétrie x/t (II)

- Si  $A=i$ :

$$d\tau^2 = C [dx^2 - dt^2]$$

$$d\hat{\tau}^2 = C [dt^2 - dx^2]$$

$$d\tilde{\tau}^2 = \frac{1}{C} [dx^2 - dt^2]$$

$$d\tilde{\hat{\tau}}^2 = \frac{1}{C} [dt^2 - dx^2]$$

→ Symétrie x/t OK



$$d\tau^2 = C [dx^2 - dt^2], \hat{g}_{\mu\nu} = -g_{\mu\nu}$$